

# БАЗИС ОРТОГОНАЛЬНЫХ ФУНКЦИЙ ДЛЯ ОПИСАНИЯ ВЕРТИКАЛЬНЫХ РАСПРЕДЕЛЕНИЙ ХАРАКТЕРИСТИК В АТМОСФЕРЕ ЗЕМЛИ

В. П. Юшков

(кафедра физики атмосферы)

E-mail: atm@phys.msu.su

Для описания случайных метеорологических полей в атмосфере предлагается система ортогональных функций, построенных в форме собственных решений задачи Штурма–Лиувилля. Анализируется семейство решений этой задачи над поверхностью сферы в зависимости от двух параметров, один из которых связывает внутреннюю энергию с оператором Лапласа, а второй описывает граничное условие на этой поверхности.

## Введение

Использование ортогональных собственных функций (ОСФ) в качестве базиса разложения случайных полей в геофизике является широко употребительным, и список таких исследований насчитывает уже не одну сотню работ (см., напр., ссылки в [1–3]). Так, например, в глобальных спектральных моделях базисными являются сферические функции, которые входят в частные решения уравнений Лапласа и Гельмгольца в сферических координатах, что позволяет использовать их в численных схемах прогноза погоды и климата [4–7]. После работ А. М. Обухова о случайных полях [8, 9] (в том числе случайных полях на сфере) большое распространение получили эмпирические ортогональные собственные функции (ЭОСФ или EOF в английской транскрипции) [1, 3, 10, 11].

Гораздо меньше подобных работ можно видеть об ортогональных функциях по вертикальной координате, хотя их применение в синоптических и климатических моделях обсуждалось в некоторых работах (см., напр., [2, 12]). Это объясняется, по-видимому, трудностью выбора такой системы функций, разложение по которой основных синоптических характеристик (температуры, давления, скорости и направления ветра (или функции тока и вихря)) приводило бы к достаточно быстрой сходимости коэффициентов разложения, с тем, чтобы относительно небольшое число коэффициентов описывало основные закономерности распределения этих характеристик и их естественной изменчивости.

В настоящей работе предлагается такая система ОСФ, по которой можно провести разложение поля плотности атмосферы, а такие характеристики, как температура (внутренняя энергия) и скорость ветра (или момент импульса), при разложении по этой же системе функций представляются собственными значениями или средними для каждой моды разложения. Такой подход позволяет использовать законы сохранения массы, энергии, импульса и момента

импульса всей атмосферы, так как каждая мода характеризует свойства всей атмосферы.

В первом приближении поверхность Земли рассматривается в форме сферы, а геопотенциал пропорционален  $1/r$ . В этом приближении не рассматривается влияние силы Кориолиса на распределение плотности воздуха, а влияние центробежного ускорения учитывается через геопотенциал (сумму гравитационного потенциала и потенциала центробежной силы), который зависит только от высоты над поверхностью. По существу это стандартная замена геопотенциальных координат сферическими с наибольшими ошибками метрической формы у поверхности Земли около 0.17% [13]. В такой упрощенной постановке построенные ОСФ могут служить основой для нахождения в последующем более точных приближений методами теории возмущений.

## Постановка задачи

Нам необходимо найти систему функций, ортогональных вне сферы радиуса  $R_0$ , действительных, убывающих на бесконечности и квадратично интегрируемых. Первая (главная) или несколько первых ОСФ должны иметь вертикальный масштаб характеристики для наблюдаемого распределения плотности.

Будем искать эту систему функций  $\{\psi_i\}_{i=0}^{\infty}$  как решения задачи Штурма–Лиувилля с самосопряженным линейным оператором энергии для центрального поля:

$$-\frac{\gamma^2}{2m_a}\Delta\psi_i - \frac{GMm_a}{r}\psi_i = E_i\psi_i, \quad (1)$$

где  $\gamma$  — постоянная, связывающая распределение плотности через оператор Лапласа с внутренней энергией этого распределения [14],  $m_a$  — масса атмосферы,  $M$  — масса Земли,  $-\frac{GMm_a}{r}$  — гравитационный потенциал,  $E$  — полная энергия распределения. Форму, или моду, стационарного распределения  $\psi$  обычно называют «волновой функцией», а само уравнение хорошо известно как уравнение Шредингера.

Распределение плотности вероятности (обнаружить «пробную» частицу единичной массы), выражаемое через квадрат «волновой функции», должно проявляться в среднем распределении плотности атмосферы. Поскольку распределение плотности атмосферы по высоте близко к экспоненциальному, чтобы эти функции описывали и равновесное распределение плотности, граничным условием на поверхности должно быть условие 3-го рода:  $\frac{\partial\psi}{\partial r}|_{r=R_0} = -\lambda\psi$ .

Параметр  $\gamma$  определяет масштаб всех собственных функций (ниже для краткости СФ), и поэтому его нужно выбрать таким образом, чтобы наблюдаемое среднее (по времени и угловым координатам) распределение плотности атмосферы по вертикали хорошо описывалось первой СФ (точнее нулевой, если следовать традиционной нумерации основного или невозмущенного состояния). Этот параметр можно выразить через среднюю температуру  $T_a$  (скорость внутреннего движения), приведенную высоту атмосферы  $H_0$ , средний радиус Земли  $R_0$  и массу атмосферы  $m_a$ .

### Решение уравнения Шрёдингера в приближении тонкой атмосферы

Домножим обе части уравнения (1) на множитель  $H^2$ , имеющий смысл квадрата приведенной высоты для каждой моды, разделим на  $-\frac{\gamma^2}{2m_a}$  и обозначим безразмерные величины следующим образом:  $\frac{r}{H} = x$ ,  $\frac{R_0}{H} = x_0$ ,  $\frac{2m_a g_0 R_0^2 H}{\gamma^2} = C$  и  $-\frac{2m_a E H^2}{\gamma} = \varepsilon$ . Перейдем в сферическую систему координат, используем разделение переменных, так как потенциал зависит только от радиальной координаты, выделим из лапласиана радиальную часть:  $\frac{\partial^2}{\partial x^2} + \frac{2}{x} \frac{\partial}{\partial x}$ . Угловая компонента решения будет сферической функцией  $j$ -го порядка. Уравнение для радиальной компоненты  $\varphi(x)$  будет иметь вид:

$$\frac{\partial^2 \varphi}{\partial x^2} + \frac{2}{x} \frac{\partial \varphi}{\partial x} + \frac{C}{x} \varphi - \frac{j(j+1)}{x^2} \varphi = \varepsilon \varphi.$$

Рассмотрим сначала сферически симметричные решения ( $j = 0$ ), так как нас интересует в первую очередь изменение СФ с высотой. Эта задача Штурма–Лиувилля имеет дискретный спектр собственных значений (СЗ) при отрицательных значениях энергии  $E$ . Сделав подстановку  $\varphi = e^{-x/2}\phi$  и полагая  $\varepsilon = 1/4$ , т. е. связав приведенную высоту с энергией распределения, получаем, что  $\phi$  есть вырожденные (конфлюэнтные) гипергеометрические функции  ${}_1F_1$  [15], удовлетворяющие уравнению

$$x \frac{\partial^2 \phi}{\partial x^2} + (2-x) \frac{\partial \phi}{\partial x} + (C-1)\phi = 0.$$

Однако в отличие от классических полиномов Лагерра (при  $C = n + 1$ ) для решения задачи в пространстве вне сферы необходимо удовлетворить не только условию на бесконечности, которое вы-

ражается в форме квадратичной интегрируемости, но и граничному условию на поверхности, которое теперь имеет вид  $\frac{\partial\phi}{\partial x}|_{x=x_0} = (\frac{1}{2} - \lambda H)\phi$ . Второе линейно независимое решение не является квадратично интегрируемым даже с множителем  $e^{-x/2}$ , и оно не может быть использовано в общем решении. Так как асимптотика интегрируемого (с весом  $e^{-x}$ ) решения известна ( $\phi \sim x^{-1}$  при  $x \rightarrow \infty$  [16]) и поскольку нас интересуют главным образом решения в области  $x \approx x_0$  ( $\frac{x}{R_0} \ll 1$ ), для нахождения СЗ и аппроксимации точного решения можно воспользоваться теорией возмущений и использовать аналитическое решение приближенного уравнения. Для этого сделаем подстановку  $\phi(x) = x^\alpha \omega(x)$ . Тогда  $\omega(x)$  удовлетворяет уравнению

$$x \frac{\partial^2 \omega}{\partial x^2} + (2(1+\alpha)-x) \frac{\partial \omega}{\partial x} + (C-\alpha-1)\omega + \frac{\alpha(\alpha+1)}{x} \omega = 0, \quad (2)$$

и, считая последний член вблизи поверхности постоянным и равным  $\frac{\alpha(\alpha+1)}{x_0}$ , решения уравнения (2) в области  $\frac{x-x_0}{x_0} \ll 1$  можно аппроксимировать обобщенными полиномами Лагерра  $L_n^{2\alpha+1}$ , если подобрать параметр аппроксимации  $\alpha$  так, что  $C - 1 - \alpha + \frac{\alpha(\alpha+1)}{x_0} = n$ . Если представить теперь  $C$  в форме  $\frac{\varkappa}{x_0}$ , поскольку  $C \sim H$ , то

$$\frac{\varkappa + \alpha(\alpha+1)}{x_0} - (\alpha+1) = n \quad (3)$$

или  $x_0 = \frac{\varkappa + \alpha(\alpha+1)}{\alpha+n+1}$ .

Таким образом,  $x_0$  можно рассматривать как спектральный параметр, выбор которого теперь определяется граничным условием  $\frac{\partial\omega}{\partial x}|_{x=x_0} = \left(\frac{1}{2} - \frac{\lambda R_0}{x_0} - \frac{\alpha}{x_0}\right)\omega$ . Подставляя в это граничное условие решение в форме полинома Лагерра, находим корень уравнения:

$$L_n^{1/2\alpha+1}(x) = \left(\frac{1}{2} - \frac{\lambda R_0}{x} - \frac{\alpha}{x}\right) L_n^{2\alpha+1}(x), \quad (4)$$

который и должен равняться  $x_0$ .

### Первые собственные функции и собственные значения

Рассмотрим характер первых СФ и поведение первых СЗ. Основное состояние ( $n = 0$ ) должно удовлетворять двум условиям:  $\frac{x_0}{2} = \lambda R_0 + \alpha$  и  $x_0 = \frac{\varkappa}{(\alpha+1)} + \alpha$ . Соответственно  $\frac{\varkappa}{\alpha+1} = 2\lambda R_0 + \alpha$  или

$$\alpha = -\left(\lambda R_0 + \frac{1}{2}\right) \pm \sqrt{\left(\lambda R_0 - \frac{1}{2}\right)^2 + \varkappa}.$$

Поскольку интегрируемые решения существуют только для  $\alpha > -1$ , подходящим является первый корень. Для изотермической атмосферы  $\alpha_0 = 0$ , при этом  $\varkappa = 2\lambda R_0$  и  $x_0 = 2\lambda R_0$ .

Введение параметра  $\alpha$ , который необходим для выполнения граничного условия, не изменяет поведения самой СФ вблизи поверхности, поскольку  $\left(\frac{x}{x_0}\right)^\alpha \approx e^{(\alpha/x_0)y}$  (здесь  $y = x - x_0 = \frac{z}{H_0}$ , где  $z$  — высота над поверхностью) и, следовательно,  $\varphi_0 \sim e^{-(1/2-\alpha/x_0)y} = e^{-(\lambda R_0/x_0)y} = e^{-\lambda z}$ .

Следующая СФ — линейная по  $x$ :  $\omega_1 = 2(\alpha+1) - x$ . Обозначим точку поверхности теперь  $x_1$ , тогда

$$(2(\alpha+1) - x_1) \left( \frac{1}{2} - \frac{\lambda R_0}{x_1} - \frac{\alpha}{x_1} \right) = -1 \quad (5)$$

$$\text{и } x_1 = \frac{\varkappa + \alpha(\alpha+1)}{\alpha+2}.$$

Если выбрать  $\alpha_1$  так, что  $\alpha_1(\alpha_1+1) \approx \varkappa$ , то  $x_1 \approx 2\alpha_1$ . Для изотермической атмосферы ( $\varkappa = 2\lambda R_0$ )  $\alpha_1 \approx \sqrt{2\lambda R_0}$ . При этом  $1 \ll \alpha_1 \ll \varkappa$  и  $x_1 = 2(\alpha_1+1) - \delta$ , так что из (5)  $\delta = \frac{2(\alpha_1+1)}{\lambda R_0} \ll 1$ . Или  $x_1 = 2(\alpha_1+1) \left(1 - \frac{1}{\lambda R_0}\right) \approx 2\sqrt{2\lambda R_0} \ll x_0$ . Если теперь выразить первую СФ через размерную высоту над поверхностью  $z$ , то

$$\omega_1 = 2(\alpha_1+1) - \left(x_1 + \frac{z}{H}\right) = \frac{2(\alpha_1+1)}{\lambda R_0} - \frac{z}{H} \approx$$

$$\approx \frac{x_1}{\lambda R_0} - \frac{z}{H} = \frac{1 - \lambda z}{\lambda H},$$

и ноль этой функции лежит на высоте  $z = \frac{1}{\lambda} = 2H_0$ .

При  $\lambda R_0 \gg 1$  и  $x_n \approx 2\alpha_n \ll \lambda R_0$   $x_n$  близки к одному из нулей полиномов Лагерра, поэтому если в качестве первого приближения к решениям уравнения (4) брать первые нули полиномов, то все эти нули будут выше поверхности  $x = x_n$ . Более точная аппроксимация возможна при  $|\alpha| < 1$ . При этом точное решение аппроксимируется полиномом большой степени  $m$ , а  $x_n$  выбирается из условия расположения  $n$  корней уравнения  $L_m^{2\alpha+1}(x) = 0$  выше поверхности.

Для нахождения последующих СФ имеет смысл решать систему двух уравнений (4) и (3) численно, выбирая в качестве первого приближения  $\alpha_n = \sqrt{\varkappa}$  и  $x_n = 2\sqrt{\varkappa}$ . Итерационная процедура (например, по методу Ньютона), позволяет быстро найти оба параметра  $\alpha_n$  и  $x_n$ . Заметим, что соотношение между  $\alpha_n$  и  $x_n$  может варьироваться в зависимости от близости  $\varkappa$  к  $2\lambda R_0$ . После того как найдено собственное значение  $x_n$  или  $E_n = -\frac{1}{4} \frac{\gamma^2}{2m_a R_0^2} x_n^2$ , СФ исходного точного уравнения могут быть рассчитаны численно во всей области  $r \geq R_0$ . На рис. 1 представлен характер первых собственных функций для  $n = 1 \dots 4$  при  $\varkappa = 2\lambda R_0$ , а в таблице приведены точные значения параметра аппроксимации  $\alpha_n$  и безразмерной координаты поверхности  $x_n$  для полиномиальной аппроксимации малой и большой степени, а также для численного расчета функции Куммера  ${}_1F_1$  с помощью пакета MAPLE. Поверхность, как видим, лежит вблизи первого нуля СФ,

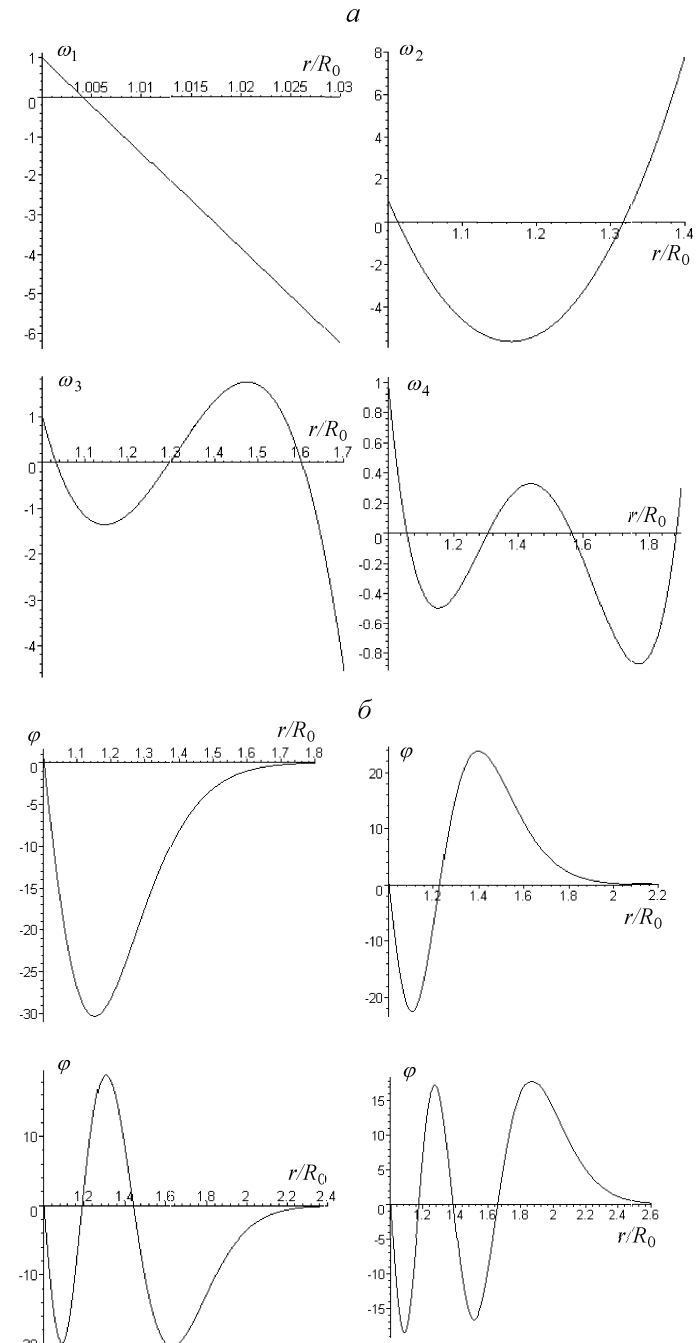


Рис. 1. Первые гармоники СФ по вертикали в полиномиальной аппроксимации (а) и как численное решение (б) при  $\varkappa = 2\lambda R_0$ . Высота нормирована в радиусах Земли  $R_0$ , значение на поверхности равно единице

и это позволяет оценить положение остальных нулей СФ по отношению к радиусу Земли. По существу, первые собственные функции вблизи поверхности близки к  $(1 - \lambda z)$ , отличаясь незначительно лишь наклоном (положением нуля) и показателем экспоненты.

### Параметры семейства собственных функций

«Основное состояние», которое дает близкое к среднему по времени и по поверхности (по углам) вертикальное распределение плотности атмосферы,

**Значения параметра аппроксимации  $\alpha_n$   
и безразмерной координаты поверхности  $x_n$  для первых СФ**

Номер гармоники	Параметр аппроксимации	Координата поверхности	Степень полинома	Параметр аппроксимации	Координата поверхности	Численное решение
1	26.18	54.212	15	-0.304	48.61	48.6154
2	27.45	50.155	17	-0.776	44.30	44.3501
3	28.23	47.214	18	-0.445	41.13	41.1204
4	28.79	44.837	19	-0.191	38.49	38.5417

позволяет оценить параметр  $\lambda$ . Если распределение плотности близко к равновесному, т. е. экспоненциальному, распределение «корня из плотности» близко к  $\varphi_0 = \sqrt{\rho(0)} e^{-\lambda z}$  при  $z \ll R_0$ . Метеорологические наблюдения показывают, что отклонения средней плотности от экспоненциального распределения невелики и приближенно описываются линейным градиентом температуры с высотой. Поэтому в качестве первого приближения для  $\lambda$  можно взять значение  $\lambda = g_0/(2R_\mu T_0)$ , где  $T_0$  — средняя (по времени и угловым координатам) температура поверхности, которое соответствует гидростатическому приближению. Значение  $T_0$  близко к 287 К.

Постоянную  $\gamma$  можно найти, возвращаясь к определениям безразмерных параметров  $C$  и  $\varkappa$ . Если  $\varkappa = 2\lambda R_0$ , то

$$\gamma^2 = \frac{2m_a^2 g_0 R_0^3}{\varkappa} = \frac{m_a^2 g_0 R_0^2}{\lambda} = m_a^2 2R_\mu T_0 R_0^2.$$

При таком значении  $\varkappa$  величина  $\gamma^2$  имеет смысл квадрата момента импульса внутреннего движения частиц (молекул) в атмосфере.

### Определение коэффициентов разложения по заданной системе СФ

Известно, что ЭОСФ могут быть найдены как СФ второго момента случайного поля  $B(\mathbf{r}, \mathbf{r}')$  [10]. Пусть  $\{\chi_i\}$  — эмпирические ОСФ, а  $\{\psi_i\}$  — теоретические ОСФ, тогда  $B(\mathbf{r}, \mathbf{r}') = \sum_i C_i^2 \chi_i^*(\mathbf{r}) \chi_i(\mathbf{r}')$ , поэтому, находя СФ и СЗ второго момента  $B_\rho(\mathbf{r}, \mathbf{r}')$  «корня из плотности», мы получаем коэффициенты разложения  $C_i$  средней плотности атмосферы, так что

$$\chi = \sum_i C_i \chi_i, \quad \rho = m_a \chi^2 = m_a B_\rho(\mathbf{r}, \mathbf{r}). \quad (6)$$

При использовании метода Галеркина коэффициенты разложения ЭОСФ по заданной системе теоретических ортогональных функций (ТОФ) являются собственными векторами матрицы  $B_{kl} = \int \psi_k(\mathbf{r}) B(\mathbf{r}, \mathbf{r}') \psi_l^*(\mathbf{r}') d^3 r d^3 r'$ , и если ТОФ совпадают с ЭОСФ, то эта матрица будет диагональной.

Если рассмотреть среднее по времени и угловым координатам  $(\theta, \varphi)$ , т. е. «вертикальный разрез» этого момента:

$$B(z, z') = \frac{R_0^2}{\tau m_a} \int \sqrt{\rho(z, \theta, \varphi)} \sqrt{\rho(z', \theta, \varphi)} \sin \theta d\theta d\varphi dt,$$

то  $\lambda$  можно определить по характеристике  $\vartheta = \ln \frac{\chi_0(z)}{\chi_0(0)} = \frac{1}{2} \ln \frac{B(z, z)}{B(0, 0)}$ , поскольку  $\frac{\partial \vartheta}{\partial z}|_{z=0} = -\lambda$ . Здесь за знак интеграла выведено  $R_0^2$ , так как интегрирование реально проводится по области наблюдений до высот  $z \ll R_0$ , а  $\tau$  — интервал интегрирования по времени — длина архива наблюдений.

Для проверки предложенного подхода и разложения поля плотности использовался климатический архив национального климатического центра данных (США) «GGUAS» [17]. Были построены различные разрезы второго момента и определены главные характеристики атмосферы. По данным этого архива —  $\lambda = 0.0599 \text{ км}^{-1}$ ,  $H_0 = 8.354 \text{ км}$  и  $2\lambda R_0 = 763.25$ , а на рис. 2 приведен график второго момента равновесного распределения плотности  $B(z, z')$ , построенный по этим данным, из которого видно, что  $B(z, z')$  можно описать суперпозицией небольшого числа полиномов (с экспоненциальными множителями).

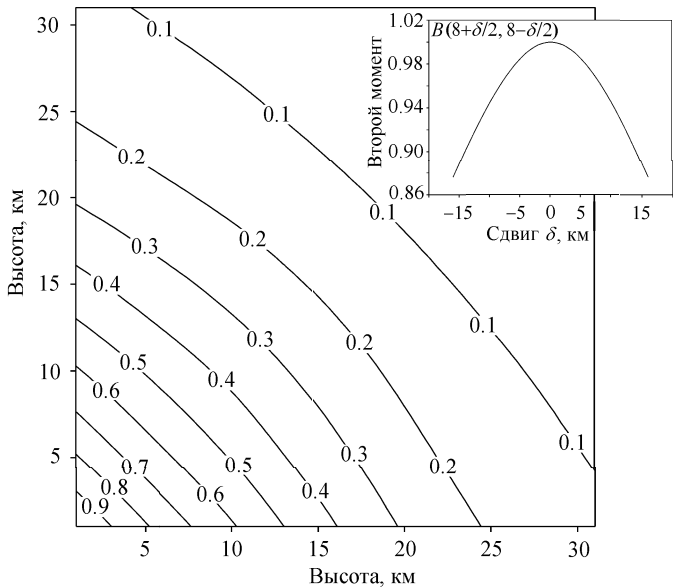


Рис. 2. Второй момент «корня из плотности атмосферы»  $B(z, z')$  как функция высот. На врезке показан симметричный разрез этой функции  $B(8+\delta/2, 8-\delta/2)$ . Его можно аппроксимировать четным полиномом небольшой степени, что указывает на быструю сходимость ряда разложения (6)

Автор выражает глубокую признательность В. Е. Куницыну за поддержку этой работы, М. Д. Малых и А. Н. Боголюбову за помощь в математическом обосновании полученного результата, а также Я. А. Ильюшину за ценные критические за-

мечания и П. Ф. Демченко за редакционные исправления, которые немало способствовали улучшению этой статьи.

### Литература

1. Галин М.Б. // Изв. РАН. Сер. ФАО. 2002. **38**, № 1. С. 34.
2. Фролов А.В., Важник А.И., Цветков В.И., Астахова Е.Д. // Метеорология и гидрология. 2000. № 2. С. 10.
3. Shen S.S., North G.R., Kim K-Y. // J. Climate. 1994. **7**. Р. 1999.
4. Курбаткин Г.П., Дегтярёв А.И., Фролов А.В. Спектральная модель атмосферы, инициализация и база данных для численного прогноза погоды. СПб., 1994.
5. Bourke W., McAvaney B., Puri K., Thurling R. // Methods in Computational Physics. Vol. 17 / Ed. J. Chang. Academic Press, 1977.
6. Eliasen E., Machenhauer B., Rasmussen E. // Rep. N 2, Institute for Theoretical Meteorology; University of Copenhagen, 1970.
7. McAvaney B.J., Bourke W., Pun K. // J. Atmos. Sci. 1978. **35**. Р. 1557.
8. Обухов А.М. // Тр. ГЕОФИАН. 1954. № 24 // Турбулентность и динамика атмосферы. Л., 1988.
9. Обухов А.М. // УМН. 1947. **2**, № 2. С. 196; Турбулентность и динамика атмосферы. Л., 1988.
10. Обухов А.М. // Изв. АН. Сер. Геофизика. 1960. № 3. С. 432; Турбулентность и динамика атмосферы. Л., 1988.
11. Kim K.-Y., North G.R., Shen S.S. // J. Climate. 1995. **9**. Р. 635.
12. Важник А. И. // Метеорология и гидрология. 1996. № 10. С. 15.
13. Гилл А. Динамика атмосферы и океана. М., 1986.
14. Юшков В.П. // Метеорология и гидрология. 2001. № 6. С. 50.
15. Мэттьюз Дж., Уокер Р. Математические методы физики. М., 1972.
16. Янке Е., Эмде Ф., Лёш Ф. Специальные функции. М., 1977.
17. Global Gridded Upper Air Statistics CD-ROM. Asheville, 1996.

Поступила в редакцию  
18.03.04